

7. Карамзин Ю. Н., Сухоруков А. П. Нелинейная адаптивная оптика.— Изв. АН СССР. Сер. физ., 1978, т. 42, № 12.
8. Волохатюк В. А., Кочетков В. М., Красовский Р. Р. Вопросы оптической локации. М.: Сов. радио, 1977.

Поступила в редакцию 6 сентября 1979 г.;
окончательный вариант — 17 декабря 1979 г.

УДК 681.327.68 : 621.383

С. И. НАЙМАРК
(Новосибирск)

НЕКОТОРЫЕ СХЕМОТЕХНИЧЕСКИЕ И СТРУКТУРНЫЕ ОСОБЕННОСТИ МНОГОЭЛЕМЕНТНЫХ ИНТЕГРАЛЬНЫХ МДП-ФОТОДИОДНЫХ УСТРОЙСТВ

Со времени первых работ Веймера [1] интегральные многоэлементные фоточувствительные устройства, в особенности МДП-фотодиодные, завоевали признание разработчиков электронной аппаратуры. Однако известные устройства чаще всего представляют собой безвакуумные аналоги телевизионной трубки в том смысле, что считывание исходной функции $g(x, y)$, проецируемой в виде изображения на фоточувствительное устройство, осуществляется путем последовательного сканирования или поэлементной (ячейка за ячейкой) выборки информации. В то же время ясно, что реализуя выборку с определенным алгоритмом, можно осуществлять предобработку изображения. Поскольку подавляющее большинство алгоритмов обработки изображений сводится к интегральным преобразованиям, большой интерес представляет совмещение функций считывания и предобработки с целью увеличения быстродействия преобразования. Некоторые аспекты такого подхода развиты авторами работ [2, 3] применительно к преобразованию Уолша.

Представляет интерес реализация выборки с произвольным алгоритмом в МДП-фотодиодных устройствах, которые изготавливаются в стандартном МДП-технологическом процессе и широко распространены. При такой выборке выходной сигнал на каждом такте будет являться линейной комбинацией сигналов фотоячеек с весами $\{0, 1\}$, а процесс выборки описывается линейным преобразованием

$$F = HG, \quad (1)$$

где G — вектор, составленный из отсчетов изображения $g(x, y)$, проецируемого на фоточувствительное устройство; H — матрица преобразования, состоящая из нулей и единиц.

Критериями оценки качества преобразования могут служить такие характеристики, как отношение сигнал/шум и ограничение на объем передаваемой информации на выходе фоточувствительного устройства, которые будут зависеть от схемы фотоячейки, режима ее работы и структурной организации фотоячеек в линейку или матрицу.

Пусть имеется ограничение Θ на длительность экспозиции и выборки сигналов, эквивалентное длительности телевизионного кадра. В течение интервала времени Θ изображение $g(x, y)$ дискретизируется и представляется конечным множеством отсчетов G , число которых равно числу фотоячеек M в фоточувствительном устройстве. Информация об отсчетах

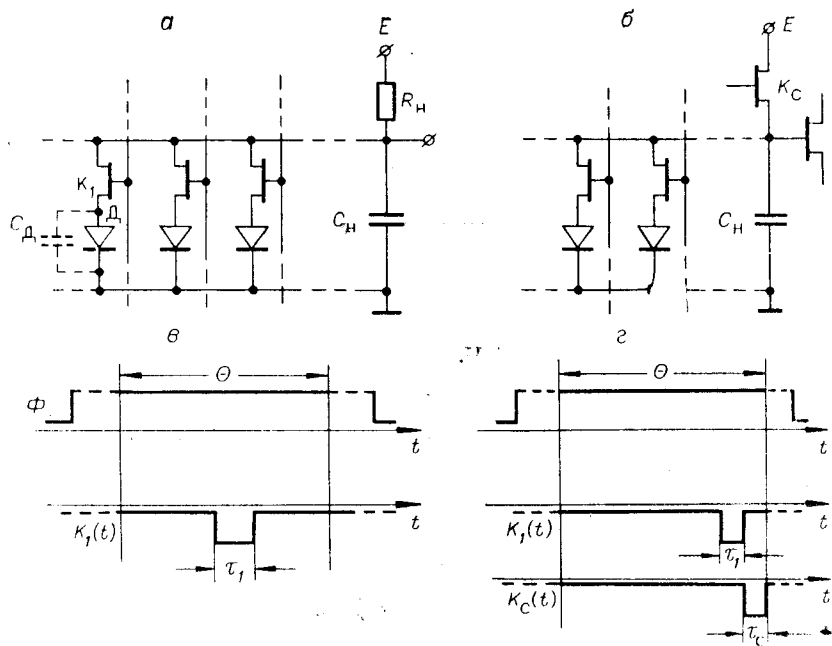


Рис. 1.

может передаваться к выходу устройства с помощью линейного преобразования (1). В зависимости от структурной организации устройства уравнение (1) будет трансформироваться вместе с адекватным описанием множества G и матрицы H , которые, в свою очередь, будут зависеть от структуры устройства и алгоритма выборки. Задача заключается в том, чтобы установить соответствие между указанными выше информационными характеристиками и схемотехническими, структурными и режимными параметрами МДП-фотодиодных устройств с мультиплексированием выходов фотоячеек. Применение общих методов будет показано на примерах поэлементной выборки и выборки в базисах Виленкина — Крестецова (ВКФ).

Схема МДП-фотодиодной ячейки режима ее работы. Параллельная структура фотоячеек. На рис. 1, а, б изображена принципиальная схема ячейки, представляющей собой МДП-транзисторную структуру с изолированным истоком [4], который вместе с подложкой образует фотодиод Д.

Канал МДП-транзистора работает как ключ K_1 с внутренним сопротивлением R_n , подключающий фотодиод к шине считывания, и управляется сигналом по адресной шине. C_D — емкость $p-n$ -перехода фотодиода Д, C_n — емкость выходной шины.

Различают два режима работы МДП-фотодиодной ячейки: мгновенного действия и накопления (см. рис. 1, в, г). Режим мгновенного действия (см. рис. 1, в) обеспечивается при замкнутом во время экспозиции ключе K_1 . После окончания переходного процесса через ключ K_1 протекает постоянный ток $S_\lambda \Phi$, пропорциональный интенсивности светового потока Φ , падающего на фоточувствительную площадку фотодиода со спектральной чувствительностью S_λ .

Режим накопления обеспечивается, если ключ K_1 разомкнут в течение длительности кадра Θ и на емкости $p-n$ -перехода накоплен заряд $S_\lambda \Phi \Theta$. Тогда при замыкании ключа K_1 можно измерить перетекающий заряд, пропорциональный $S_\lambda \Phi \Theta$.

Считая, что фотодиод Д, ключ K_1 и нагрузка R_n образуют непрерывный канал с аддитивным гауссовым шумом, можно получить выражение

для соотношения сигнал/шум на выходном электроде. Аппроксимируем спектральную плотность шума $R_n C_d$ -цепи белым шумом в полосе $\Delta f = 1/\tau_d = 1/R_n C_d$. Тогда для режима мгновенного действия получим

$$\gamma^2 = g^2 / (\bar{z}^2 + \bar{n}^2) \cong \frac{S_\lambda \Phi \tau_1}{e} \left(1 + \frac{4kT/R_n}{e S_\lambda \Phi} \right)^{-1}, \quad (2)$$

где \bar{z}^2, \bar{n}^2 — шумы, связанные с фотодиодом и выходным электродом соответственно; τ_1 — длительность коммутации ключа K_1 (см. рис. 1, а, з); e — заряд электрона; дробовой шум темнового тока не учитывается.

Очевидно, что для сохранения полосы пропускания канала на уровне $1/\tau_d$ необходимо выбирать $R_n \approx R_n C_d / C_n$, поскольку значительное уменьшение R_n привело бы к неоправданному росту \bar{n}^2 , а увеличение R_n — к уменьшению ширины полосы.

В режиме накопления для считывания выходного сигнала часто применяют интегратор со сбросом [5] (см. рис. 1, б), что эквивалентно $R_n \rightarrow \infty$; тогда шумовое сопротивление определяется внутренним сопротивлением R_c ключа сброса K_c , которое также должно выбираться из соображений выбора необходимой полосы пропускания канала $R_c \approx R_n C_d / C_n$. Используя результаты работы [6], для сигнала получим

$$g^2 \cong (S_\lambda \Phi \Theta)^2 (C_n / (C_d + C_n))^2. \quad (3)$$

Шум фотоприемника \bar{z}^2 складывается из заряда $\sqrt{e S_\lambda \Phi \Theta}$, накопленного на емкости C_d в процессе экспозиции, и заряда $\sqrt{k T C_d}$, внесенного при коммутации ключа K_1 . Шум выходного электрода \bar{n}^2 вносится ключом сброса K_c (см. рис. 1, з):

$$\bar{z}^2 + \bar{n}^2 \cong (C_n / (C_d + C_n))^2 (e S_\lambda \Phi \Theta + k T C_d) + k T C_n. \quad (3a)$$

При $\tau_1, \tau_c > \tau_d$ выражения (3), (3a) практически не зависят от параметров τ_1 и τ_c , поэтому для отношения сигнал/шум в режиме накопления будем иметь

$$\tilde{\gamma}^2 = \frac{S_\lambda \Phi \Theta}{e} \left\{ 1 + \frac{\tau_d}{\Theta} \frac{4kT/R_c}{e S_\lambda \Phi} \left[\frac{C_d}{C_n} + \left(\frac{C_n + C_d}{C_n} \right)^2 \right] \right\}^{-1}, \quad (4)$$

где использовано то, что $R_c C_n \approx R_n C_d$.

Если $R_c \approx R_n$, то из уравнений (2), (4) следует, что для большого оптического сигнала ($(4kT/R_{n,c})/e S_\lambda \Phi \ll 1$) отношение сигнал/шум определяется множителем перед выражением в (-1) -й степени и при $\tau_1 = \Theta$ равно

$$\gamma = \tilde{\gamma} = (S_\lambda \Phi \Theta / e)^{1/2}, \quad (5)$$

что адекватно идеальному фотоприемнику, в котором действует только фотонный шум.

Для малого оптического сигнала ($(4kT/R_{n,c})/e S_\lambda \Phi \gg 1$) можно при $\gamma = \tilde{\gamma} = 1$ выразить пороговую чувствительность или шумовой эквивалентный сигнал (ШЭС) следующим образом:

режим мгновенного действия —

$$\frac{4kT}{R_n} \frac{1}{\Theta} \leq (\text{ШЭС})^2 = S_\lambda^2 \Phi_{\text{пор}}^2 = \frac{4kT}{R_n} \frac{1}{\tau_1} \leq \frac{4kT}{R_n} \frac{1}{\tau_d}, \quad (6)$$

режим накопления —

$$(\widehat{\text{ШЭС}})^2 = S_\lambda^2 \tilde{\Phi}_{\text{пор}}^2 = \frac{\tau_d}{\Theta^2} \frac{4kT}{R_n} \beta = \frac{4kT}{R_c} \frac{\tau_d}{\Theta^2}, \quad (7)$$

где $\beta = [\alpha + (1 + \alpha)^2] / \alpha$, а $\alpha = C_n / C_d$.

С помощью коэффициента β учитывается условие $R_n C_n = R_c C_n \cong R_n C_d$, сохраняющее полосу пропускания.

Вводя одинаковое для обоих режимов ограничение на амплитуду входного оптического сигнала, равное сигналу насыщения в режиме накопления $S_\lambda \Phi_{\text{нас}} = S_\lambda \tilde{\Phi}_{\text{нас}} = EC_D/\Theta = \tau_D E/\Theta R_k$, видно, что диапазон изменения сигнала

$$\kappa^2 \tau_D \eta^2 \leq \tilde{\Phi}_{\text{нас}}^2 / (\text{ШЭС})^2 = \kappa^2 \tau_1 \eta \leq \kappa^2 \tau_D \eta \quad (8)$$

и

$$\tilde{\Phi}_{\text{нас}}^2 / (\overline{\text{ШЭС}})^2 = \kappa^2 \tau_D, \quad (8a)$$

где $\eta = \tau_D/\Theta$, а $\kappa^2 = E^2 R_n / R_k^2 4kT = E^2 / \beta 4kT R_k$ можно трактовать как сигнал насыщения, нормированный на спектральную плотность шума.

При $C_n \leq C_D$ $\kappa = \kappa_0$ и выбор $R_c = R_n = R_k/\beta$ практически не изменяет полосы пропускания канала, так как $\beta \geq 1$.

При $C_n \gg C_D$ имеем $\beta = \alpha \gg 1$ и выбор $R_c = R_n = R_k/\beta$ также обеспечивает сохранение полосы пропускания на уровне $1/\tau_D$. Однако величина нормированного сигнала насыщения κ^2 , определяемая из (8) и (8a), при этом уменьшится по отношению к κ_0^2 .

Пусть M фотоячеек организованы в параллельную структуру таким образом, что каждая из них имеет индивидуальный выходной электрод. Тогда для получения информации обо всех отсчетах множества G необходима одна коммутация ключей, и ничто не мешает приравнять $\tau_1 = \Theta$. При этом выражение (2) максимизируется; выражение (4) остается неизменным, а отношение сигнал/шум для большого оптического сигнала совпадает с (5).

Для системы параллельных каналов можно записать ограничения на объемы передаваемой информации в обоих режимах, равные физическим объемам многоканальной системы, состоящей из M каналов.

Используя (8) и (8a), имеем для режима мгновенного действия

$$V = M \eta^{-1} \log (1 + \kappa_0^2 \tau_D \eta) \leq M \kappa_0^2 \tau_D [\text{нат}]^*, \quad (9)$$

для режима накопления

$$\tilde{V} = M \eta^{-1} \log (1 + \kappa_0^2 \Theta \eta) \leq M \kappa_0^2 \Theta [\text{нат}]. \quad (9a)$$

Очевидно, что выражения (9), (9a) определяют верхние границы для объемов передаваемой за время Θ информации при любой структурной схеме многоэлементного устройства, состоящего из M фотоячеек, поскольку в этом случае число каналов является максимальным, а полоса шумов — минимальной.

Матрица H в уравнении (1) вырождается в скаляр, принимающий значения «1» или «0», что соответствует одновременному замыканию или размыканию ключей K_1 .

Структурные схемы многоэлементных устройств. При числе фотоячеек $M \geq 10^2$ в устройстве обычно используют мультиплексирование выходов [7].

На рис. 2, а изображена структурная схема линейки МДП-фотодиодных ячеек с $m_1 \times m_2$ -мультиплексором, имеющим m_1 адресных и m_2 выходных шин считывания. Поскольку возбуждение любой из m_1 управляющих адресных шин мультиплексора обеспечивает подключение m_2 фотоячеек к m_2 шинам считывания, то линейное пространство для отсчетов из множества G можно представить тензорным произведением m_1 -мерного и m_2 -мерного линейных пространств, где множество отсчетов G представляет собой тензор g_k^i , зависящий от двух индексов $1 \leq i \leq m_1$, $1 \leq k \leq m_2$, первый из которых связан с номером адресной шины, а второй — с номером выходной шины считывания.

* Нат — натуральная единица информации, получающаяся при натуральном основании логарифма.

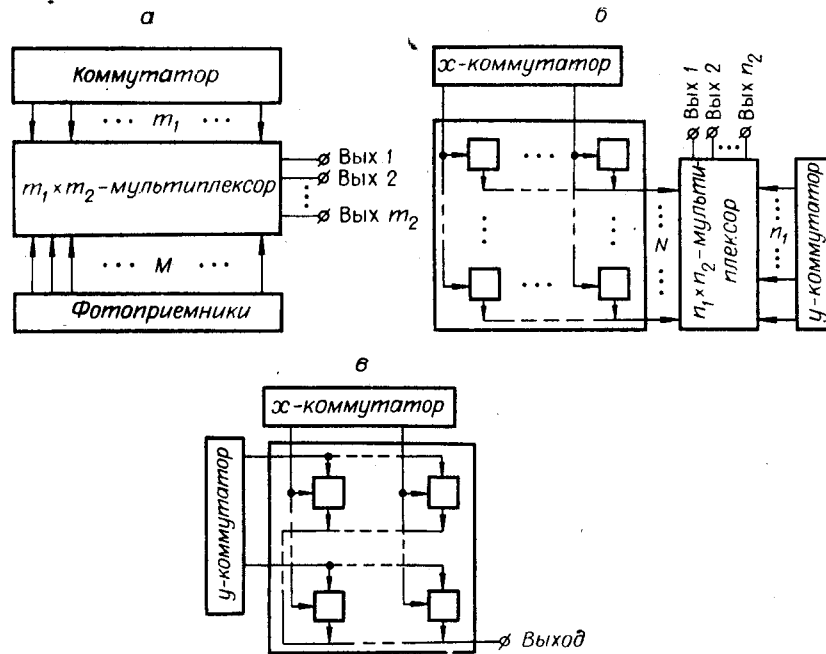


Рис. 2.

Непосредственно из схемы рис. 2, а легко видеть, что матрица H допускает разложение:

$$H = \mathcal{H} \otimes \mathcal{P}, \quad (10)$$

где \otimes — символ кронекерова произведения; \mathcal{P} — матрица, описывающая межсоединения выходов ячеек и шин считывания в мультиплексоре; \mathcal{H} — матрица двоичных кодов, генерируемых коммутатором.

С учетом (10) уравнение (1) преобразуется к виду

$$\mathcal{F} = \mathcal{H} \mathcal{G} \mathcal{P}^T. \quad (11)$$

Здесь \mathcal{G} — матрица координат тензора g_k^i в единичном базисе, составленная из элементов множества G ; \mathcal{F} — матрица со столбцами, составленными из m_2 параллельных выходных сигналов; \mathcal{P}^T — транспонированная матрица \mathcal{P} .

Для получения m_2 -размерного вектора выходных сигналов f_k необходимо свернуть тензор g_k^i слева с h_i строкой матрицы \mathcal{H} :

$$f_k = \sum_i^{M/m_2} h_i g_k^i$$

— и затем умножить результирующий вектор справа на транспонированную матрицу \mathcal{P} , переставляющую компоненты результирующего вектора в соответствии с межсоединениями мультиплексора, причем эта операция выполняется за один такт коммутации ключей K_1 .

Рассмотрим предельные случаи:

1. $m_1 = M$, $m_2 = 1$ — последовательная структура. Тогда существует единственная комбинация межсоединений, и матрица \mathcal{P} — скаляр, равный 1. Матрица \mathcal{H} совпадает с матрицей H , а матрица \mathcal{G} вырождается в вектор G . Уравнение (11) совпадает с (1), и каждая компонента вектора F представляет собой линейный функционал, реализуемый за один такт коммутации ключей K_1 .

2. $m_1 = 1$, $m_2 = M$ — описанная выше параллельная структура фотоячеек с общей управляющей (адресной) шиной для ключей K_1 . Матрица \mathcal{P} имеет размерность $M \times M$ и описывает перестановку выходных сигналов.

Если фотоячейки расположить в пространстве в виде двумерного массива, то наиболее удобной для реализации в планарной интегральной технологии является решетка фотоячеек, каждая из которых располагается в узле пересечения двух взаимно перпендикулярных шин. На рис. 2, б изображена квадратная $N \times N$ -решетка со словарной организацией [4], содержащая, по существу, $N \times N$ -мультиплексор с единичной матрицей \mathcal{P} . Пространственное расположение фотоячеек совпадает с расположением элементов в матрице \mathcal{G} . Согласно (11) функционирование такого типа устройств можно описать уравнением

$$\mathcal{F} = \mathcal{H}\mathcal{G},$$

где \mathcal{G} — $N \times N$ -матрица координат тензора g_k^i ; \mathcal{H} — матрица, составленная из двоичных кодов, генерируемых коммутатором на адресных шинах решетки; \mathcal{F} — матрица, столбцами которой являются N -размерные векторы выходных сигналов.

Выходы решетки также можно мультиплексировать с помощью $n_1 \times n_2$ -мультиплексора (см. рис. 2, б). Тогда каждый отсчет из множества G зависит от трех индексов и описывается тензором g_k^{il} , где $1 \leq i \leq N$, $1 \leq l \leq n_1$, $1 \leq k \leq n_2$.

Для получения n_2 -размерного вектора выходных сигналов тензор g_k^{il} необходимо свернуть с векторами-кодами h_i^x и h_l^y , генерируемыми x - и y -коммутаторами (см. рис. 2, б):

$$f_k = \sum_i^N \sum_l^{N/n_2} h_i^x g_k^{il} h_l^y, \quad (12)$$

а результирующий вектор умножить слева на перестановочную матрицу \mathcal{P}_y , описывающую межсоединения в $n_1 \times n_2$ -мультиплексоре.

При $n_1 = N$ и $n_2 = 1$ имеем устройство с единственным выходом и каждый отсчет из множества G можно описать тензором g^{il} , зависящим от двух индексов, матрица координат которого вновь совпадает с сигналами на фотоприемниках и их пространственным расположением. Уравнение (12), описывающее правую и левую свертки с кодами коммутаторов, имеет вид матричного уравнения:

$$\mathcal{F} = \mathcal{H}_x \mathcal{G} \mathcal{H}_y^T, \quad (12a)$$

где \mathcal{H}_x и \mathcal{H}_y — матрицы, строками которых являются коды x - и y -коммутаторов.

На рис. 2, в изображена структурная схема решетки с поэлементной организацией [4], каждая ячейка которой содержит два последовательных ключа так, что мультиплексоры по x и y встроены в решетку и описываются единичными матрицами \mathcal{P} . Устройство функционирует согласно уравнению (12a), которое иллюстрирует возможность применения разделимых преобразований и независимого выбора матриц \mathcal{H}_x и \mathcal{H}_y [8].

Отношение сигнал/шум в многоэлементных устройствах. При мультиплексировании выходов фотоячеек возникают шум с фиксированным распределением (ШФР) [9] и шум коммутации, существенно превышающие рассматриваемые выше флуктуационные шумы. Однако эти

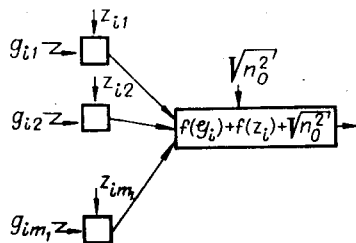


Рис. 3.

шумы не принимаются во внимание, поскольку известны способы их эффективного подавления [12, 5].

На рис. 3 изображена блок-схема канала для одномерного фрагмента устройства из $\xi^{-1} = M/m_2$ фотоячеек, подключенных к k -й выходной шине считывания. Так как учитываются только флуктуационные шумы, можно использовать модель непрерывного канала с аддитивным гауссовым шумом с нулевым средним. Тогда выходной сигнал на любом k -м выходе равен

$$f_k = \sum_i^{\xi-1} h_i g_k^i + \sum_i^{\xi-1} h_i z_k^i + n_k, \quad (13)$$

где z_k^i — реализация шума в соответствующей фотоячейке, n_k — реализация шума на k -м выходе ($1 \leq i \leq m_1$, $1 \leq k \leq m_2$).

Поскольку z_k^i и n_k гауссовы величины, имеем

$$|f_k|^2 = \sum_i^{\xi-1} h_i (z_k^i)^2 + (n_k)^2 + \left(\sum_i^{\xi-1} h_i g_k^i \right)^2. \quad (13a)$$

Для сигнального члена в (13a) можно записать ограничение

$$\left(\sum_i h_i g_k^i \right)^2 \leq \|h\|^2 \|g_k\|^2. \quad (13б)$$

Здесь $\|h\| = \sqrt{(h_1)^2 + (h_2)^2 + \dots + (h_{m_1})^2}$ — норма вектора-строки из матрицы \mathcal{H} , а $\|h\|^2$ — вес двоичного кода; $\|g_k\| = \sqrt{(g_k^1)^2 + (g_k^2)^2 + \dots + (g_k^{m_1})^2}$ — норма вектора g_k соответствующего фрагмента изображения, $\|g_k\|^2$ — энергия сигнала фрагмента.

Если $(z_k^i)^2$ приблизительно одинаковы для всех фотоячеек, а n_k^2 — для всех m_2 выходов, то для шумового члена в выражении (13a) получим

$$\sum_i^{M/m_2} h_i (z_k^i)^2 + n_k^2 \cong \|h\|^2 \bar{z}^2 + \bar{n}^2 = \|h\|^2 (\bar{z}^2 + \bar{n}^2 / \|h\|^2). \quad (13в)$$

Из (13 а, б, в) следует, что отношение сигнал/шум ограничено сверху

$$\gamma^2, \tilde{\gamma}^2 \leq \|g_k\|^2 / (\bar{z}^2 + \bar{n}^2 / \|h\|^2). \quad (14)$$

Сравнивая (14) с (2) и (4), можно видеть, что в многоэлементном устройстве шум \bar{n}^2 уменьшается в $\|h\|^2$ раз относительно \bar{z}^2 .

Для того чтобы оценить диапазон изменения сигнала, необходимо выразить ограничение на энергию $\|g_k\|^2$ через сигнал насыщения фотоячейки. Это потребует задания плотности вероятности для исходной функции $g(x, y)$ или ансамбля для множества G . Используем равновероятностное задание ансамбля. Тогда средняя энергия на фотоячейку равна $\xi \|g_k\|^2$ ($\xi = m_2/M$). Ограничивая ее, как и в случае одиночной фотоячейки, сигналом насыщения в режиме накопления, имеем из (8) и (14) для режима мгновенного действия

$$\gamma_2 \leq \eta \xi^{-1} \kappa^2 \tau_1 \|h\|^2, \quad (15)$$

а из (8a) и (14) для режима накопления

$$\tilde{\gamma}^2 \leq \xi^{-1} \kappa^2 \tau_D \|h\|^2, \quad (15a)$$

где полагаем, что $R_c = R_n$ и $\kappa^2 = E^2 R_n / R_n^2 4kT$, когда шум определяется выбором нагрузочного сопротивления, и $\kappa^2 = E^2 / R_n^2 n_0^2$, когда шум определяется внешним к интегральной схеме усилителем. В первом случае следует учитывать, что к выходной шине считывания подсоединены ξ^{-1} фотоячеек, так что $C_n = \xi^{-1} C_n^0$, где емкость $C_n^0 \leq C_D$ образуется в ре-

зультате соединения стоковой области МДП-ключа с металлической шиной считывания. При $\xi^{-1} \gg 1$ имеем $\beta \cong \alpha = \xi^{-1}$ и выбор $R_n \approx R_c = R_n/\beta$ обеспечивает сохранение полосы пропускания канала на уровне $1/\tau_d$, а пороговая чувствительность, как видно из (6) и (7), ухудшается в $\sim \xi^{-1}$ раз. При $\xi^{-1} = 1$ (параллельная структура) нагрузочная емкость (см. рис. 1, а, б) может быть минимизирована до $C_n \leq C_d$, что приводит к уменьшению κ вплоть до κ_0 .

Однако если шум n_0^2 , связанный с выходным электродом, определяется внешним усилителем, то κ^2 не зависит от выбора сопротивлений R_c и R_n .

В соотношениях (15) и (15а) множитель ξ^{-1} является структурным параметром многоэлементного устройства, характеризующим степень распараллеливания выходов. Множитель $\|h\|^2$ характеризует коды, используемые при выборке информации, а κ^2 является схемотехническим параметром фотоячейки и внешнего усилителя.

Поэлементная выборка и выборка в базисе ВКФ. В выражениях (15) и (15 а) имеется неопределенность, связанная с параметрами $\eta = \tau_d/\Theta$, τ_d и τ_1 , которые определяют последовательность во времени коммутации ключей в фотоячейках (или алгоритм выборки) и связь с минимальной и максимальной постоянными времени. Влияние алгоритма рассмотрим на примерах наиболее интересных случаев поэлементной выборки и выборки в базисе ВКФ [11].

Поэлементная выборка эквивалентна представлению изображения $g(x, y)$ в базисе δ -функций. Следует отметить, что граница, получаемая из (13б), является точной только для изображений со слабо меняющейся интенсивностью и кодов с большим числом единиц. При поэлементной выборке, когда энергия сигнала в изображении концентрируется в одной точке или вес двоичного кода коммутатора близок к единице, граница (13б) является максимально завышенной. Однако в этом случае граница следует непосредственно из (2) и (4), где $R_n = R_c$ выбрано в соответствии с $\beta = \xi^{-1}$. Учитывая условие на длительность коммутации $\tau_d \leq \tau_1 \leq \Theta\xi$, из (2) и (4) имеем:

для большого оптического сигнала

$$\gamma^2 = \xi S_\lambda \Phi \Theta, \quad (16)$$

$$\tilde{\gamma}^2 = S_\lambda \Phi \Theta, \quad (16a)$$

для малого оптического сигнала

$$\gamma^2 \cong \xi \frac{(S_\lambda \Phi)^2 \Theta}{4kT/R_n} = \xi^2 \frac{(S_\lambda \Phi)^2 \Theta}{4kT/R_n}, \quad (17)$$

$$\tilde{\gamma}^2 \cong \eta^{-1} \frac{(S_\lambda \Phi)^2 \Theta}{4kT/R_c} = \xi \eta^{-1} \frac{(S_\lambda \Phi)^2 \Theta}{4kT/R_n}. \quad (17a)$$

Из (8) и (8а) получаем выражения для физических объемов канала V и \tilde{V} :

$$V \leq M \xi \eta^{-1} \log(1 + \kappa^2 \tau_d \xi \eta) \underset{\xi \eta \rightarrow 0}{\leq} M \xi^2 \kappa^2 \tau_d, \quad (18)$$

$$\tilde{V} \leq M \xi \eta^{-1} \log(1 + \kappa^2 \Theta \eta) \underset{\eta \rightarrow 0}{\leq} M \xi \kappa^2 \Theta. \quad (18a)$$

Как следует из неравенства $\eta \leq \xi$, переход к пределу в (18) осуществляется быстрее, чем в (18 а).

Из выражений (16), (16а) и (17), (17а) можно видеть, что для большого сигнала режим накопления обеспечивает независимость отношения сигнал/шум от числа выходов многоэлементного устройства, однако

для малого сигнала эта зависимость проявляется вследствие влияния емкости выходной шины (см. рис. 1, а, б).

Если параметр ξ^{-1} — целая степень некоторого числа m ($m^n = \xi^{-1}$), то для выборки можно использовать любую базисную систему функций Виленкина — Крестенсона с модулем m [11]. Для $m = 2$ ВКФ совпадают с функциями Уолша, принимающими значения $\{-1, 1\}$. Для любой матрицы базисных функций Уолша допустимо разложение

$$\{\text{Walsh}(k, l)\} = \mathcal{H} + (-1)\overline{\mathcal{H}}, \quad (19)$$

где в матрице \mathcal{H} заменены нулями отрицательные элементы, а в матрице $\overline{\mathcal{H}}$ — положительные. Таким образом, матрицы \mathcal{H} и $\overline{\mathcal{H}}$ содержат в качестве строк только двоичные коды, которые могут непосредственно применяться для коммутации ключей фотоячеек.

Известны МДП-фотодиодные устройства, реализующие разложение (19) параллельно [12] так, что в этом случае $\|h\|^2 = \xi^{-1}$. Тогда, опуская индекс k , из (14) определяем

$$\gamma^2, \tilde{\gamma}^2 \leq \|g\|^2 / (\bar{z}^2 + \xi n^2). \quad (20)$$

Причем равенство достигается тогда, когда освещенность в каждой точке одинакова. Учитывая, что $\tau_d \leq \tau_i \leq \Theta \xi$, имеем для большого оптического сигнала

$$\gamma^2, \tilde{\gamma}^2 \leq S_\lambda \overline{\Phi} \Theta$$

($\overline{\Phi} = \xi \sum_i^{\xi^{-1}} \Phi_i$ — средняя освещенность фрагмента). Режим накопления в этом случае вырождается в интегрирование фототока внешним интегратором, поскольку в любой момент времени ключи фотоячеек замкнуты.

В свою очередь, для малого оптического сигнала получим

$$\gamma^2 \leq \frac{S_\lambda^2 \overline{\Phi}^2 \Theta}{4kT/R_n \xi^{-1}}, \quad (21)$$

$$\tilde{\gamma}^2 \leq \eta^{-1} \xi \frac{S_\lambda^2 \overline{\Phi}^2 \Theta}{4kT/R_c \xi^{-1}}, \quad (21a)$$

где $\overline{\Phi}^2 = \xi \sum_i^{\xi^{-1}} \Phi_i^2 = \xi \|g\|^2$. Если $R_c = R_n$, то формулы (21) и (21a) отличаются множителем $\xi \eta^{-1} \geq 1/2$.

Ограничивая среднюю энергию сигналом насыщения, из (15), (15a) и (20) имеем

$$V \leq M \eta^{-1} \xi \log(1 + \kappa^2 \tau_d \xi^{-1} \eta) \underset{\xi^{-1} \eta \rightarrow 0}{\leq} M \kappa^2 \tau_d, \quad (22)$$

$$\tilde{V} \leq M \eta^{-1} \xi \log(1 + \kappa^2 \Theta \xi^{-1} \eta) \underset{\xi^{-1} \eta \rightarrow 0}{\leq} M \kappa_0^2 \Theta. \quad (22a)$$

Сравнивая (22), (22a) с (9), (9a), замечаем, что объемы V и \tilde{V} в (22) и (22a) в пределе совпадают с (9) и (9a), если ШЭС определяется внешним усилителем и не зависит от выбора R_n, R_c . Другими словами, структуры, аналогичные [12], с выборкой в базисе Уолша имеют в пределе параметры, характерные для параллельной структуры, инвариантные к числу выходов устройства m_2 . Однако следует помнить, что предельный переход достигается только для широкой полосы при $\eta \ll \xi$.

Разложение (19) можно реализовать в традиционной структуре с мультиплексированием, как это показано на блок-схеме рис. 4. При этом первое слагаемое в (19) подается на один вход дифференциального усилителя, а второе — на другой. Сумма слагаемых накапливается последо-

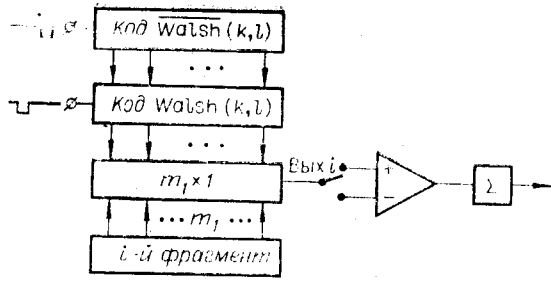


Рис. 4.

так что для матрицы системы ВКФ можно записать разложение, подобное (19). Члены разложения — матрицы, содержащие в качестве элементов «0» и «1», а их сумма — матрица, полностью заполненная единицами. Скалярные коэффициенты при каждом члене являются различными значениями ДЭФ (m). Таким образом, суммирование членов в структурах с мультиплексированием потребует m тактов коммутации и может быть реализовано так, как показано на рис. 5. С учетом условия $\tau_d \leq \tau_1 \leq \Theta \xi m^{-1}$

$$\gamma^2, \tilde{\gamma}^2 \leq \|g\|^2 / (z^2 + mn^2 \xi).$$

Аналогично (21) и (21а) можно получить отношение сигнал/шум исходя из средних освещенностей фотоячеек.

Ограничения на объемы V и \tilde{V} имеют вид

$$V \leq M \eta^{-1} \xi \log(1 + \kappa^2 \tau_d \eta \xi^{-1} m^{-1}) \leq M \kappa^2 m^{-1} \tau_d, \quad (23)$$

$$\tilde{V} \leq M \eta^{-1} \xi \log(1 + \kappa_0^2 \Theta \eta \xi^{-1} m^{-1}) \leq M \kappa_0^2 m^{-1} \Theta. \quad (23a)$$

Объемы в пределе достигают в m раз меньшего значения, чем для параллельной структуры, однако предельный переход осуществляется в m раз быстрее.

Особый интерес представляет случай $m = \xi^{-1}$, когда выборка в базисе ВКФ адекватна дискретному преобразованию Фурье. Использование условия на длительность коммутации $\tau_d \leq \tau_1 \leq \xi^2 \Theta$ и формул (23), (23а) дает выражения для V и \tilde{V} :

$$V \leq M \kappa^2 \xi \tau_d, \quad (24)$$

$$\tilde{V} \leq M \kappa_0^2 \xi \tau_d, \quad (24a)$$

Если сравнивать (24) и (24а) с (18) и (18а) для поэлементной выборки, то видно, что для случая когда ШЭС определяется выбором на-

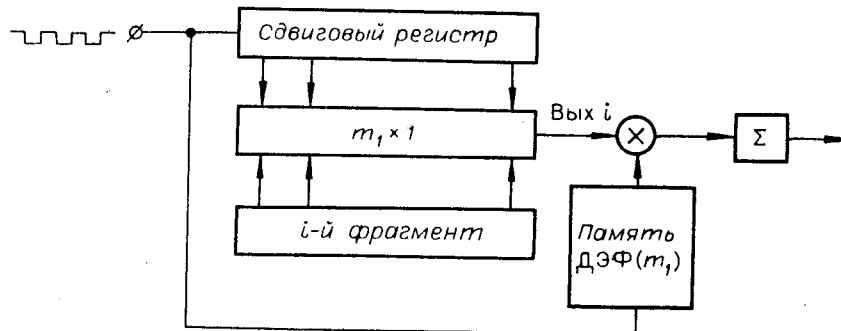


Рис. 5.

вательно в два такта на внешнем накопителе. Очевидно, что в этом случае $\tau_d \leq \tau_1 \leq \Theta \xi / 2$.

Матрица любой базисной системы ВКФ с произвольным модулем m после сокращения на фазы, кратные 2π , не содержит никаких других элементов, кроме m значений дискретной экспоненциальной функции ДЭФ (m) [11],

грузочных сопротивлений R_n и R_c , т. е. $\kappa_0^2 = \xi \kappa^2$, в выражениях (18) и (18а) степень малого параметра ξ на единицу выше, что является следствием наличия внешнего накопителя, который суммирует энергию выходного сигнала за ξ^{-1} тактов.

Оценивая различные способы выборки в различных структурных схемах по объему передаваемой информации, можно прийти к следующим выводам: 1) для поэлементной выборки зависимость объемов V и \bar{V} , а также отношений сигнал/шум γ и $\bar{\gamma}$ от структурного параметра ξ наиболее резкая; 2) выборка в базисе Уолша инвариантна к параметру ξ и не зависит от степени распараллеливания выходных каналов фоточувствительного устройства; 3) объемы V и \bar{V} для параллельной структуры не зависят от способа выборки и совпадают в пределе с объемами передаваемой информации при выборке в базисе Уолша. Иными словами, к максимальным значениям объемов передаваемой информации V и \bar{V} можно подойти двумя способами: либо изменяя структурную схему фоточувствительного устройства путем увеличения числа выходных каналов, либо используя базис ВКФ с малым числом m (близким к 2) при неизменной структурной схеме.

Выборка в базисе ВКФ весьма показательно иллюстрирует влияние алгоритма коммутации на информационные характеристики устройства, через параметр m , который характеризует вклады параллельных и последовательных операций.

Однако ясно, что реализация линейных преобразований в процессе выборки не ухудшает, а в ряде случаев улучшает отношение сигнал/шум и ограничение на объем передаваемой информации, хотя также ясно, что требования к динамическому диапазону и к полосе внешних усилительных схем при этом существенно повышаются.

В заключение автор выражает признательность Е. С. Нежевенко, Р. Д. Баглаю, А. Н. Касперовичу, Б. Н. Панкову и П. Е. Твердохлебу за полезные замечания, сделанные при обсуждении рукописи работы.

ЛИТЕРАТУРА

1. Веймер П. К. Твердотельный датчик изображения. Заявл. 30.15.65, опубл. 06.01.70. Кл. 250—211. США. Пат. № 3.488.508.
2. Берковская К. Ф. и др. Возможности реализации адямаровского спектроанализатора на фотоприемном устройстве типа «маскон». — В кн.: Оптическая обработка информации. Л.: Наука, 1978.
3. Райс С. Матрица фотоприемников. Заявл. 19.4.75, опубл. 13.1.77. Кл. НО 3/14. ФРГ. Авт. заявка № 2517346.
4. Йеспере П. Двухкоординатная адресация. — В кн.: Полупроводниковые формирователи сигналов изображений: Пер. с англ./Под ред. Р. Л. Суриса. М.: Мир, 1979.
5. Басс Р. Р., Танака С. С., Веклер Дж. Г. Принципы малошумящего выделения сигнала в фотодиодных матрицах. — Там же.
6. Кругликов С. В. Анализ динамических характеристик ячейки фотодиодной матрицы с коммутацией на МДП-транзисторах. — Автометрия, 1979, № 3.
7. Weimer P. K. Image Sensors for Solid-State Cameras. — Advances in Electronics and Electron Physics, 1975, vol. 37, p. 181—262.
8. Эндрюс Г. Двумерные преобразования. — В кн.: Обработка изображений и цифровая фильтрация: Пер. с англ. М.: Мир, 1979.
9. Fry P. W., Noble P. J. W., Rycroft R. S. Fixed-Pattern Noise in Photometrics. — IEEE J. of Solid State Circ., 1970, vol. VSC-5, N 5.
10. Mc Neil W. D., Rohland W. S. Compensation for a Scanning System. Filed 18.12.72, publ. 26.3.74. Cl.178/7.1. US Pat. N 3.800.079.
11. Трахтман А. М., Трахтман В. А. Основы теории дискретных сигналов на конечных интервалах. М.: Сов. радио, 1975.
12. Берковская К. Ф., Кругликов С. В., Подласкин Б. Г., Столовицкий В. М. Координатоуказатель точечного объекта с интегральным опросом фотоприемной матрицы. — В кн.: Координатно-чувствительные твердотельные фотоприемники и оптико-электронные устройства на их основе: [Тез. конф.]. — Барнаул, 1979, с. 52—53.

Поступила в редакцию 26 июня 1980 г.